

- [12] Liang J, Huang X, Hu H, et al. Predicting malignancy in thyroid nodules: Radiomics score versus 2017 American College of Radiology Thyroid Imaging, Reporting and Data System. Thyroid, 2018, 28(8):1024-1033.
- [13] Chitalia RD, Kontos D. Role of texture analysis in breast MRI as a cancer biomarker: A review. J Magn Reson Imaging, 2019, 49(4):927-938.

Malignant peripheral nerve sheath tumor of vulva in child: Case report 儿童会阴恶性外周神经鞘膜瘤 1 例

邓雨杭¹, 刘秀梅¹, 徐丽娜², 谭贤愧¹

(1. 中南大学湘雅二医院超声诊断科, 2. 病理科, 湖南长沙 410011)

[Keywords] nerve sheath neoplasms; vulvar neoplasms; ultrasonography

[关键词] 神经鞘肿瘤; 外阴肿瘤; 超声检查

DOI: 10.13929/j.1003-3289.201812099

[中图分类号] R739.43; R445 **[文献标识码]** B **[文章编号]** 1003-3289(2019)09-1335-01

患儿女, 8岁, 因“发现外阴包块10个月”入院。查体: 两侧大阴唇间见约2 cm×2 cm包块, 尿道口及阴道口位置正常。染色体核型: 46, XX; 性激素无异常。超声示会阴部隆起处软组织层内约3.2 cm×1.9 cm低回声结节, 形态规则, 边界清, 内回声欠均匀; CDFI示结节内点状及条样血流信号(图1A); 提示: 会阴处结节, 性质待定。盆腔MR平扫示会阴部约2.1 cm×2.5 cm×2.8 cm结节状隆起, 呈等T1长T2信号, 边缘清(图1B)。

行会阴包块切除术, 术中见灰白色肿块, 质地较软, 可轻微活动, 与相邻组织轻度粘连。术后病理: 镜下见肿瘤细胞丰富、密集, 呈梭形、卵圆形, 核分裂2~5个/10HPF, 未见坏死, 肿瘤无包膜, 累及表皮(图1C); 免疫组化: CK(-), Vim(+), SMA(-), Demin(-), S100(弥漫+), CD56(-), Syn(+), CgA(-), SOX-10(+), CD34(-), Bcl-2(+), EMA(-), Inhibin- α (-), CD10(灶性+), CD99(+), HCAL(-), HMB45(-), Melan-A(-), HHF-35(-), TLE1(+), CD68(-), PLAP(-), Ki-67(约10%+)。病理诊断:(会阴)低度恶性外周神经鞘膜瘤(malignant peripheral nerve sheath tumor, MPNST)。

讨论 MPNST是由外周神经产生或在组织学上表现为神经鞘分化的软组织肿瘤, 发生于外阴者少见。女性MPNST少

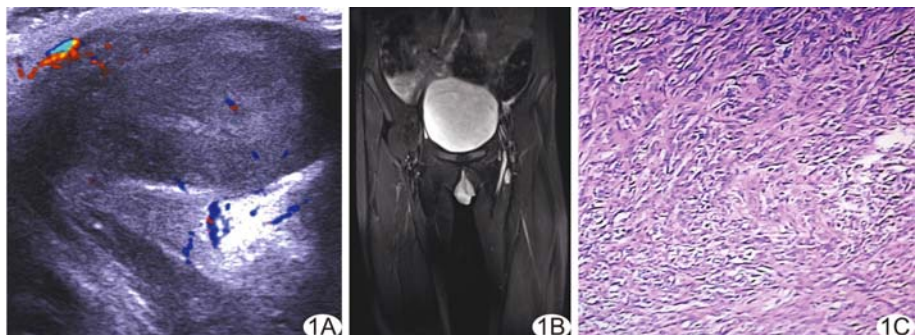


图1 会阴MPNST影像学及病理表现 A. CDFI示结节内点状及条样血流信号; B. MR冠状位T2WI; C. 病理图(HE, $\times 100$)

见,发生于女童者罕见。MPNST多单发,可生长为体积较大的不规则实性或囊实性包块,超声表现为内部回声不均,边界不清,活动度较差,血供较丰富。MPNST的CT和MRI特征多为外周神经走行区域的实性为主不均匀肿块,内见坏死灶及囊腔,增强后呈不均匀强化,肿块边界不清,常迅速侵袭周围组织,可致邻近骨组织溶骨性骨质破坏。常规CT和MRI可显示MPNST肿块大小、局部侵袭性及远处转移情况。¹⁸F-FDG PET有助于鉴别良恶性周围神经鞘瘤:¹⁸F-FDG较低摄取与良性外周神经鞘瘤相关,¹⁸F-FDG较高摄取与MPNST相关。本病确诊仍需依赖于病理检查。本病需与外阴部脂肪瘤、皮肤纤维瘤、皮样囊肿及血管瘤等相鉴别;发生于儿童的外阴肿块还需考虑阴蒂肥大及尿道下裂可能。

[第一作者] 邓雨杭(1993—), 女, 湖南永州人, 在读硕士。E-mail: dengyuhang@csu.edu.cn

[收稿日期] 2018-12-17 **[修回日期]** 2019-03-14